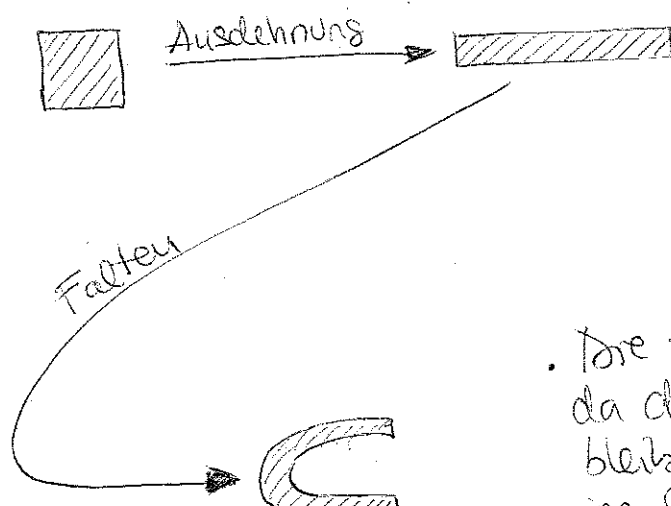


## • SELTSAME ATTRAKTOREN

- In unserer Diskussion der chaotischen Systeme haben wir schon mehrmals die wichtige Idee von seltsamen Attraktoren getroffen, z.B. der Lorenz-Attraktor (S. 58) oder der Rössler-Attraktor (S. 114). Diese former sind wirklich beeindruckend. Die Bahnen auf dem seltsamen Attraktor sind zwar in einem Bereich gefangen, die divergieren aber exponentiell voneinander!
- Wie ist das überhaupt möglich? Wir werden das hier im Rahmen von einfachen Beispiele untersuchen.
- Die wichtigste Idee ist die wiederholte Anwendung von Ausdehnung und Falten. Gucken wir es.

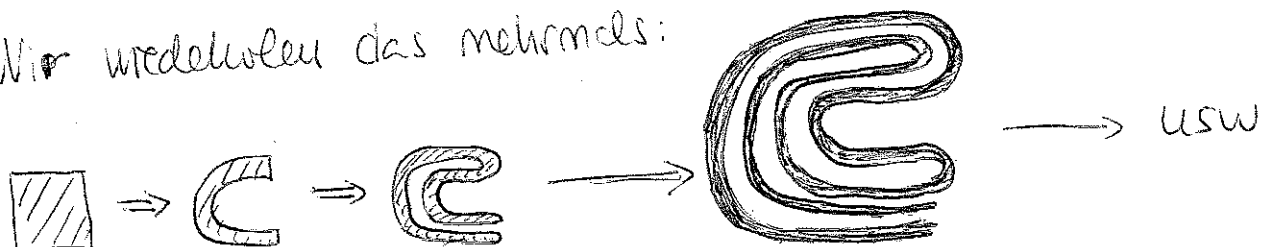
Nehmen wir einen Würfel im Variablenraum. Wir werden diesen Würfel als den Teig eines Bäckers behandeln.



- Der Teig wird in einer Richtung komprimiert (das hat mit der Dissipation in dem System zu tun)
- Der Teig wird in einer Richtung ausgedehnt (das führt zu einer empfindlichen Abhängigkeit vom Anfangsbedingungen!)

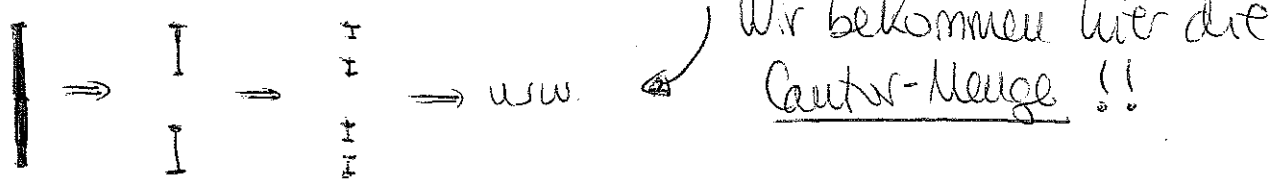
Die Ausdehnung darf nicht beliebig sein, da die Bahnen innerhalb eines Bereiches bleiben müssen. Hier kommt das Falten ins Spiel

• Wir wiederholen das mehrmals:



Es ist zunächst klar das so was erfüllt die 2 Eigenschaften eines seltsamen Attraktors: gefangene Bahnen und empfindliche Abhängigkeit von Anfangsbedingungen.

- \* Machen wir einen Schnitt (entlang der y-Richtung) in der Mitte des Teiges:



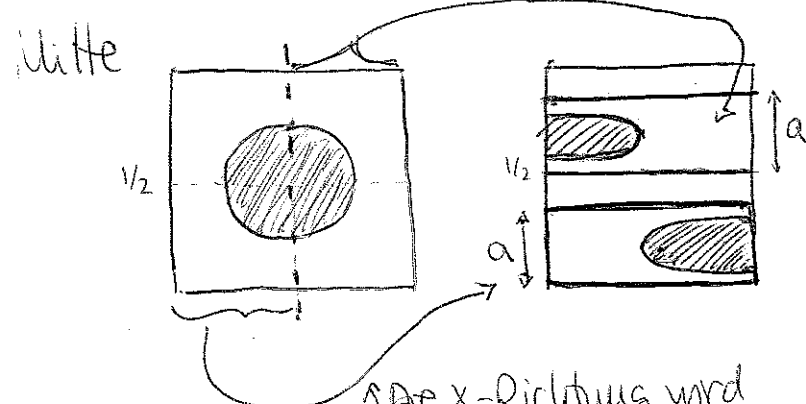
- \* Die fraktale Struktur des Attraktors kommt also als Folge einer wiederholten Anwendung von Ausdehnung und Falten.

### \* BEISPIEL: Die BÄCKER-ABILDUNG

- \* Die Bäckerabbildung ist eine 2D-Abbildung der Form:

$$(x_{n+1}, y_{n+1}) = \begin{cases} (2x_n, ay_n) & \text{für } 0 \leq x_n < \frac{1}{2} \\ (2x_n - 1, ay_n + \frac{1}{2}) & \text{für } \frac{1}{2} \leq x_n \leq 1 \end{cases} \quad \text{wobei } 0 < a \leq \frac{1}{2}$$

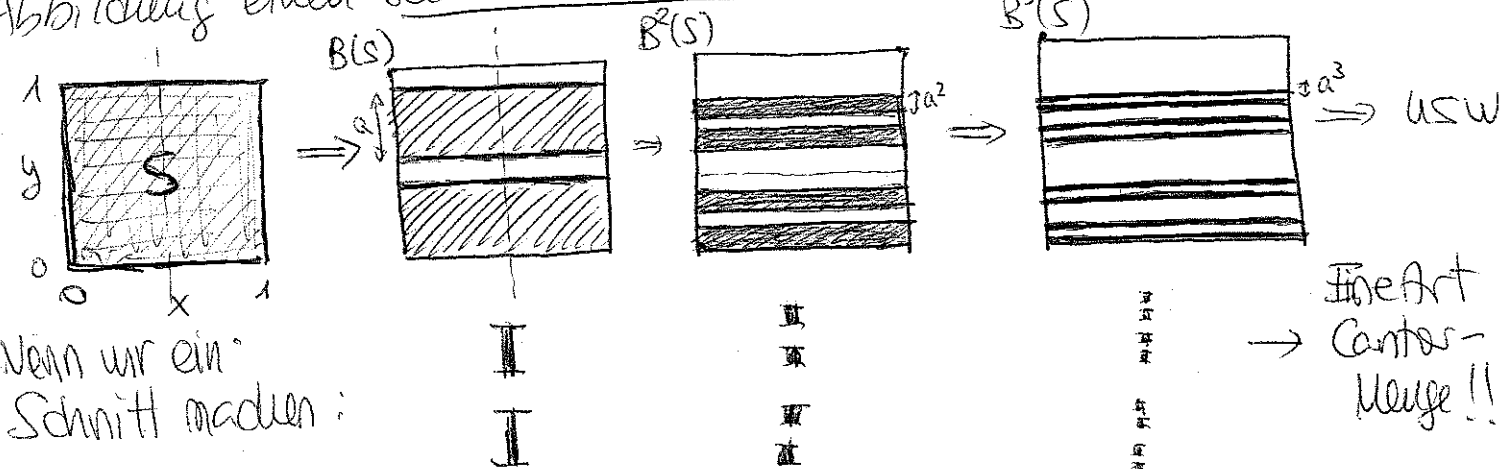
- \* Nehmen wir eine Würdelle (mit Seite 1) ~~mit einem Kreis in der~~ mit einem Kreis in der



↑ Die x-Richtung wird ausgedehnt ( $\times 2$ ) und die y-Richtung wird gegengesch. ( $\times a$ )

- \* Wegen der Ausdehnung in der x-Richtung weist die Bäcker-Abbildung eine empfindliche Abhängigkeit von den Anfangsbedingungen auf.

- \* Es ist ganz einfach zu sehen dass für  $a < 1/2$  die Bäcker-Abbildung einen seltsamen Attraktor hat



- \*  $B^\infty(S)$  baut also einen seltsamen Attraktor, eine Art Cantor-Menge von Geraden.

Gucken wir nach der Box-Dimension für diesen seltsamen Attraktor.  $B^\infty(S)$  wird von allen  $B^n(S)$  überdeckt.  $B^n(S)$  hat  $2^n$  Streifen mit Breite  $a^n$  und Länge 1.

Wir benutzen also kleine Vierecken mit Seitenlänge  $\epsilon = a^n$ . Da die Länge einer Streife ist 1, wir brauchen also  $a^{-n}$  Vierecken pro Streife, und daher  $2^n a^{-n}$  Vierecken insgesamt für  $B^n(S)$ .

Dann

$$d = \lim_{\epsilon \rightarrow 0} \frac{\ln N(\epsilon)}{\ln(1/\epsilon)} = \lim_{n \rightarrow \infty} \frac{\ln((\frac{2}{a})^n)}{\ln(\frac{1}{a^n})} = \frac{\ln a + \ln 2}{\ln a} = 1 + \frac{\ln 2}{\ln a}$$

Da  $a \leq 1/2 \rightarrow 1 < d \leq 2$ , nur für  $a = 1/2 \rightarrow d = 2$

Das macht intuitiv Sinn, da je größer ist  $a$ , desto mehr Fläche von dem ursprünglichen  $S$  transformiert wird.

- \* Für  $a < 1/2$   $\Rightarrow$  ~~Fläche~~  $[B(S)] < \text{Fläche}[S]$  (das seltene intuitiv klar sein!)

Das deutet au, dass die Abbildung dissipativ ist.

(Bemerkung: die Kontraktion der Fläche spielt hier eine ähnliche Rolle wie die Kontraktion des Volumens für die Lorenz-Gleichungen (S. 92)).

Wie für die Lorenz-Gleichung das hat auch Folgen für die Böller-Abbildung. Der Attraktor hat Fläche Null. Die Böller-Abbildung hat auch keine abstoßende Fixpunkte.

- \* Für  $a = 1/2$  ist die Lage ganz anders:  $\text{Fläche}[B(S)] = \text{Fläche}[S]$ . Die Abbildung erhältet die Fläche, und die Dynamik, die auch chaotisch sein kann, geht nun nicht mehr in einem Attraktor!

- \* Wir werden später die Dynamik in Konservativen Systemen untersuchen (im Rahmen von Hamiltonischen Systemen der klassischen Mechanik).

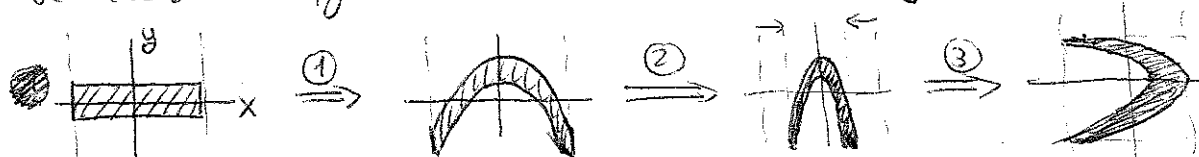
## Hénon-Abbildung

- \* Die Hénon-Abbildung ist noch eine 2D Abbildung mit einem seltsamen Attraktor. Diese Abbildung erlaubt uns eine einfache Analyse der fraktalen Natur der seltsamen Attraktoren (wie z.B. der Lorenz-Attraktor).
- \* Die Hénon-Abbildung ist dieser Form:

$$x_{n+1} = y_n + 1 - ax_n^2$$

$$y_{n+1} = bx_n$$

Diese Abbildung ist die Zusammensetzung von 3 Schritte



①:  $x' = x, y' = y + 1 - ax^2 \rightarrow$  Parabolisches Falten

②:  $x'' = bx', y'' = y' (-1 < b < 1) \rightarrow$  Weiteres Falten

③:  $x''' = y'', y''' = x'' \rightarrow$  Drehung ( $45^\circ$ )

- \* Die Hénon-Abbildung erfüllt einige Eigenschaften, die auch das Lorenz-System erfüllt, und daher ist die Hénon-Abbildung eine universelle Karte für die Kerneigenschaften des Lorenz-Systems (und aller ähnlicher Systeme) zu untersuchen. Gucken wir diese Eigenschaften:

- (i) Die Hénon-Abbildung ist umkehrbar:

$$\left. \begin{array}{l} x_n = \frac{1}{b} y_{n+1} \\ y_n = x_{n+1} - 1 + \frac{a}{b^2} y_{n+1}^2 \end{array} \right\} \begin{array}{l} \text{d.h. für jede } (x_{n+1}, y_{n+1}) \text{ gibt es nur} \\ \text{eine } (x_n, y_n) \end{array}$$

(S. 103)

(Bemerkung: Das war anders für die Logistische Abbildung, in für jede  $(x_{n+1}, y_{n+1})$  (außer das Maximum) gibt es immer 2 mögliche  $(x_n, y_n)$ .)

• Diese Eigenschaft taucht auch (in einer kontinuierlichen Form) in das Lorenz-System, wo es immer eine einzige Bahn durch alle Punkte gibt.

• (ii) Die Hénon-Abbildung ist dissipativ (wie das Lorenz-System).

• Für eine gegebene Abbildung  $T(x, y)$ , eine infinitesimale Fläche  $dx dy$  wird nach der Abbildung  $| \det J(x, y) | dx dy$ , wobei

$$J = \begin{pmatrix} \frac{\partial f}{\partial x} & \frac{\partial f}{\partial y} \\ \frac{\partial g}{\partial x} & \frac{\partial g}{\partial y} \end{pmatrix} \quad \text{wenn } T(x, y) \Rightarrow \begin{cases} x_{n+1} = f(x_n, y_n) \\ y_{n+1} = g(x_n, y_n) \end{cases}$$

-Matrix der Abbildung ist.

• Wenn  $|\det J(x, y)|$  wird die neue Fläche kleiner, d.h. die Abbildung ist dissipativ.

• Für die Hénon-Abbildung:  $J = \begin{pmatrix} -2ax & 1 \\ b & 0 \end{pmatrix} \rightarrow \det J = -b$   
 $\rightarrow |\det J| = |b| < 1 \rightarrow$  die Fläche nach jeder Abbildung wird ein Faktor  $|b|$  kleiner.

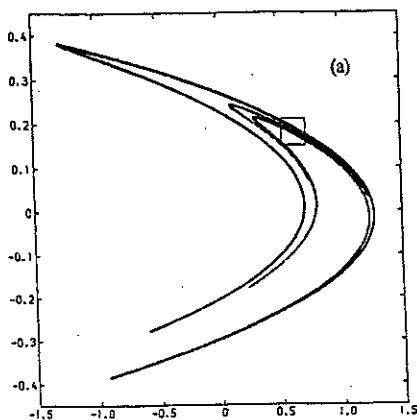
• (iii) Für bestimmte Parameter  $a$  und  $b$  werden die Bahnen in einem Bereich von  $(x, y)$  Werten gehalten. Wie für das Lorenz-System liegt der ~~seltsame~~ Attraktor auf diesem Bereich.

(Bemerkung: eigentlich für das Lorenz-System liegen die Bahnen immer in einem geschlossenen Bereich, und nicht nur für besondere Werte der Parameter.)

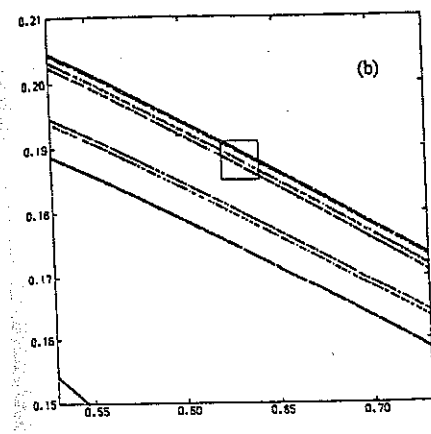
Wir werden  $a=1.4$  und  $b=0.3$  nehmen (wie M. Hénon in 1976).

Wenn man so macht, dann wird die Abbildung nach mehreren Iterationen einen seltsamen Attraktor bauen, die die erste Visualisierung der fraktale Struktur 1976 erlaubt hat.

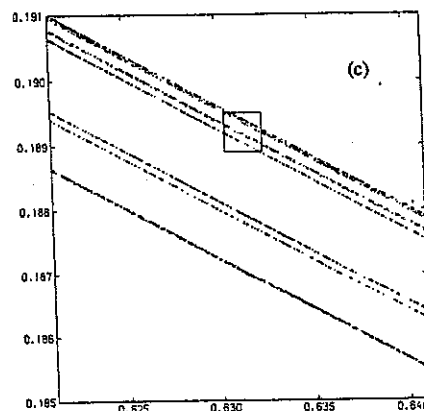
\* Der seltsame Attraktor (Hénon-Attraktor) sieht so aus:



; Wir werden nun ein Zoom machen



und  
noch  
ein  
Zoom  
→



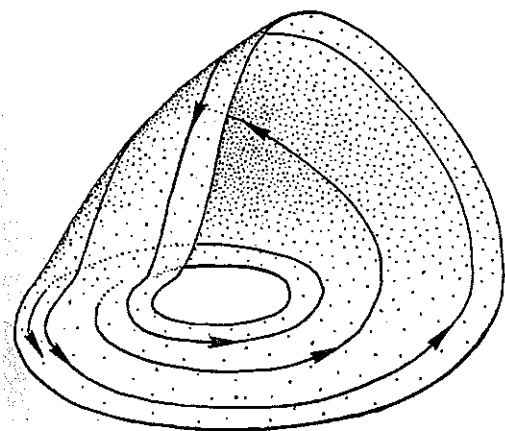
Man hat also :

- \* Eine feine Struktur für alle Skalen (weitere Zooms ergeben das gleiche)
- \* Eine klare Selbstähnlichkeit!

Man sieht also klar, daß der Hénon-Attraktor eine fiktive Natur aufweist.

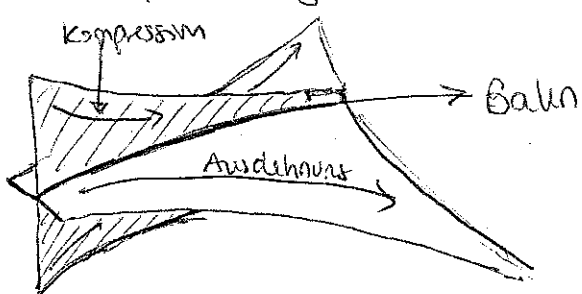
Die einfache Hénon-Abbildung zeigt also klar, dass die wirkliche Entwicklung um Ausdehnung und Falten hinter die wunderliche Fiktivität der seltsamen Attraktoren steht (auch für den Fall der komplizierteren Systeme, wie das Lorenz-System oder das Rössler-System.).

- Dieser Zwischenraum zwischen Ausdehnung (und daher empfindliche Abhängigkeit von den Anfangsbedingungen) und Falten (und daher gefaltete Bahnen) ist klar wenn wir den Rössler-Attraktor genau untersuchen

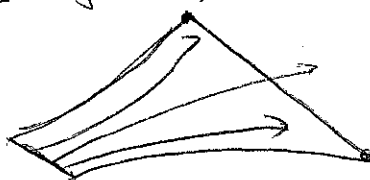


- \* Beobachtbare Bahnen trennen sich voneinander wegen der auswärtsigen Spirale (Ausdehnung)
- \* Die Bahnen gehen in die 3. Dimension, die Kreisen um, und die ~~kommen~~ <sup>Kommen,</sup> ~~aus~~ <sup>aus</sup> die Spira ~~le~~ <sup>le</sup> weder (Falten)
- \* Wir sehen ganz klar das für kontinuierliche Bahnen gibt es keine Falten (und daher kein Chaos) wenn es keine 3. Dimension gibt.

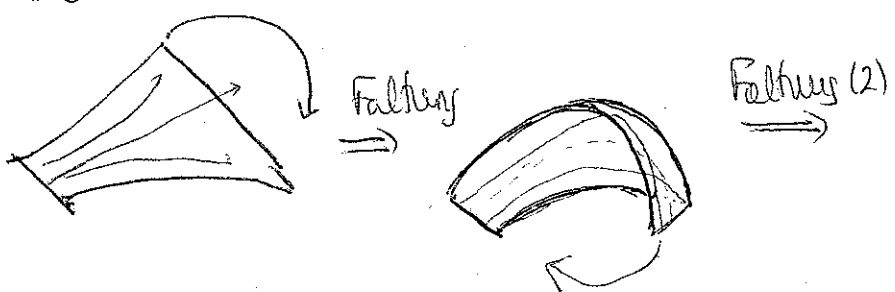
Nehmen wir nur eine Bahn auf der Attraktor. In einer Richtung gibt es Komprimierung, während in der anderen Richtung gibt es Ausdehnung.



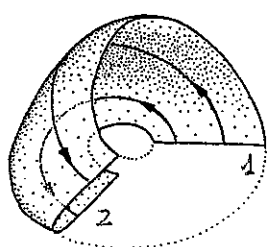
- \* Nehmen wir die empfindliche (divergente) Sicht:



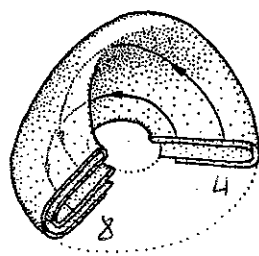
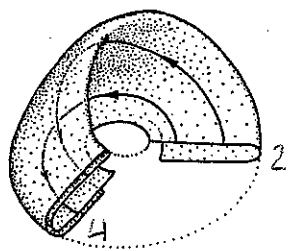
Der Fluss in dem Attraktor faltet die breite Kante dieser Sicht und faltet noch mal wie oder Asbildung



Aber nach einem Umkreis.  
Die ursprüngliche Sicht ist  
nun in 2 Sichten  
umgewandelt

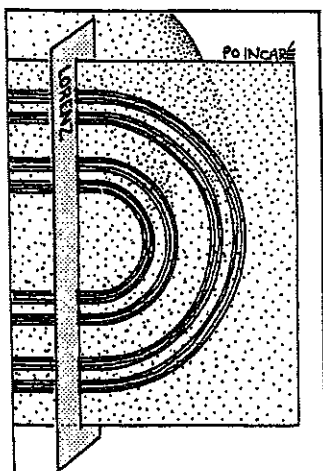


- \* Nach 2 Umkreise die 2 Sichten werden 4, und dann  
die 4 werden 8, usw.:



Das sieht also noch mal wie ein Teig! (S. 125)

Wenn wir nun den Rössler-Athuktor mit einer Ebene schneiden, kann man ~~den~~ kriegen ~~den~~ sogen. Poincaré-Schnitt.

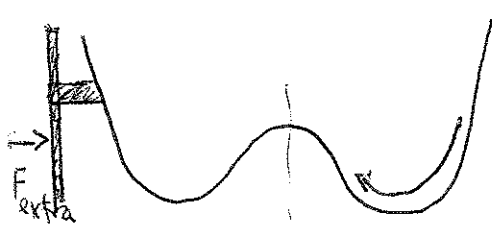


- Der Poincaré-Schnitt zeigt eine Schachtelung von Flächen (von Kurven im Schnitt), man hat also eine Art Cantor-Menge von Flächen
- Wenn wir nun einen 1D Schnitt der Poincaré-Schnitt nehmen (Lorenz-Schnitt), dann bekommen wir eine Cantor-Menge.

- Die spezielle Eigenschaften des Rössler- (oder Lorenz-) Athuktors sind also mit dieser Cantor-artige Schachtelung verknüpft, die die Ausdehnung + Falten verursachen.
- Bisher war keine Diskussion einer mathematischen. Wir werden nur sehen, dass solche Athukturen in echten physikalischen Systemen auftauchen kann. Guckt mir ein Beispiel:

\* BEISPIEL: GETRIEBENE DOPPELMULDE-POTENTIAL (Beispiel eines chaotischen Systems mit seltsamer Attractor in der klass. Mechanik) (133)

- \* Wir werden nun untersuchen, wie ein Teilchen sich in einem doppelmuldigen Potential sich bewegt. Wir nehmen an, dass das Teilchen eine gewisse Reibung erfährt, und dass das Potential periodisch getrieben ist (es gibt eine extra zeitabhängige Kraft  $F \cos \omega t$ ). Diese extra Kraft "schüttelt" das doppelmuldige Potential seitweise:



- \* Wenn das "Schütteln" schwach ist, wir erwarten dass das Teilchen in der Nähe eines Minimums bleibt.
- \* Wenn das "Schütteln" stärker wird, dann kann das Teilchen die beide Töpfe besiedeln.

- \* Es gibt also 2 mögliche Bewegungen:
  - \* Kurze Oszillationen: nur innerhalb eines Töpfes
  - \* lange Oszillationen: in beiden Töpfen.
- \* Für sehr starke Schüttelungen erwarten komplexe Bewegungen.
- \* Gucken wir es genauer. Die Dynamik dieses Systems wird am Ende folgende Newton'sche Bewegungsgleichung liefern:

$$\boxed{\ddot{x} + \delta \dot{x} - x + x^3 = F \cos \omega t}$$

(dimensionslose Form)

des Treiben

Reibung mit

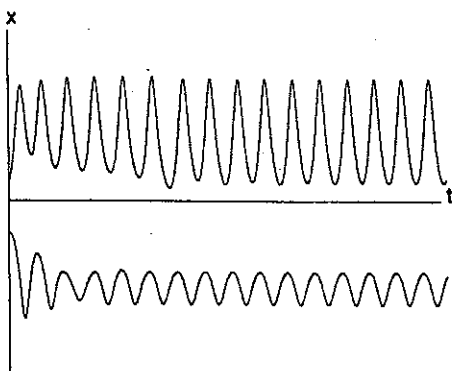
$\rightarrow V(x) = \frac{x^4}{4} - \frac{x^2}{2}$  (doppelmuliges Potential)  $\rightarrow f_{\text{pot}} = -\partial_x V = -x^3 + x$

Reibungskonstante  $\delta$

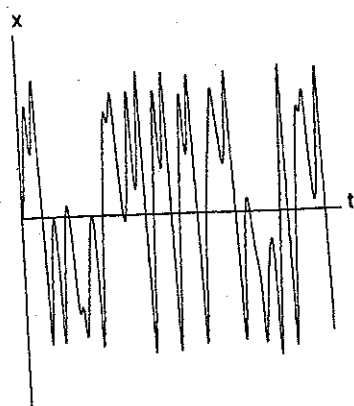
(Bemerkung: das Treiben des Potentials verursacht eine Schwingkraft  $F \cos \omega t$  fürs Teilchen)

- \* Nehmen wir z.B.  $\delta = 0.25$ ,  $\omega = 1$ , und gucken wir was passiert für verschiedene Werte von  $F$ .
- (Bemerkung: die Gleichung darüber ist explizit zeitabhängig, man braucht also  $(x, \dot{x}, t)$  für die Beschreibung des Systems  $\rightarrow$  3D Problem!)

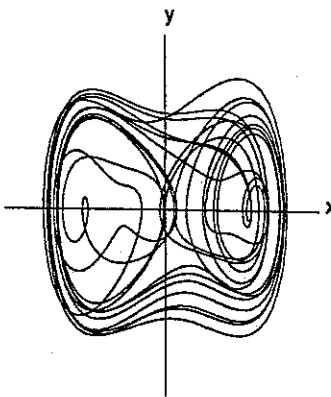
- \* Sei  $F = 0.18$ . Als Funktion der Anfangsbedingungen bekannt  
mehr verschwundene Grenzzyklen (Oszillationen innerhalb eines Tropfes)



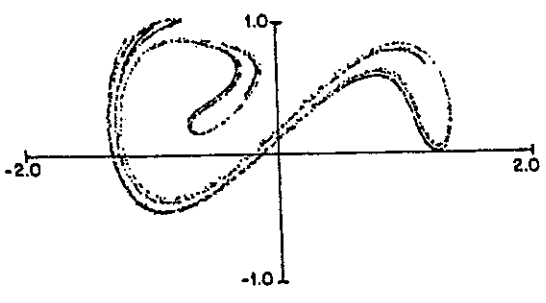
- \* Gucken wir was passiert für  $F = 0.40$  mit  $x(0) = 0, y(0) = 0$   
(Bemerkung: wie immer  $y = \dot{x}$ ):



\* Die Bahn bildet eine komplexe Form auf der XY-Ebene



- Bemerkung: Ich erinnere euch dar, dass das Problem eigentlich 3D ist, also ein Diagramm in XY ist eigentlich eine 2D-Projektion).
- \* Nehmen wir nun einen Poincaré-Schnitt  $(x(t), y(t))$  für  $t = 0.2\pi$ . Dann erhält man folgendes:



- \* Die Poincaré-Abbildung weist eine fraktale Struktur auf !!
- \* Man hat hier den Poincaré-Schnitt einer seltsamen Attraktors !!
- \* Man hat hier eine unendliche Abhängigkeit von den Anfangsbedingungen + gefährliche Bahnen  $\Rightarrow$  Chaos !!